

# Cristal iónico

Cristal iónico:

sustancia sólida cuya estructura puede representarse como un arreglo infinito y regular de iones cargados opuestamente. La red se mantiene principalmente por fuerzas electrostáticas no direccionales entre los iones cargados.

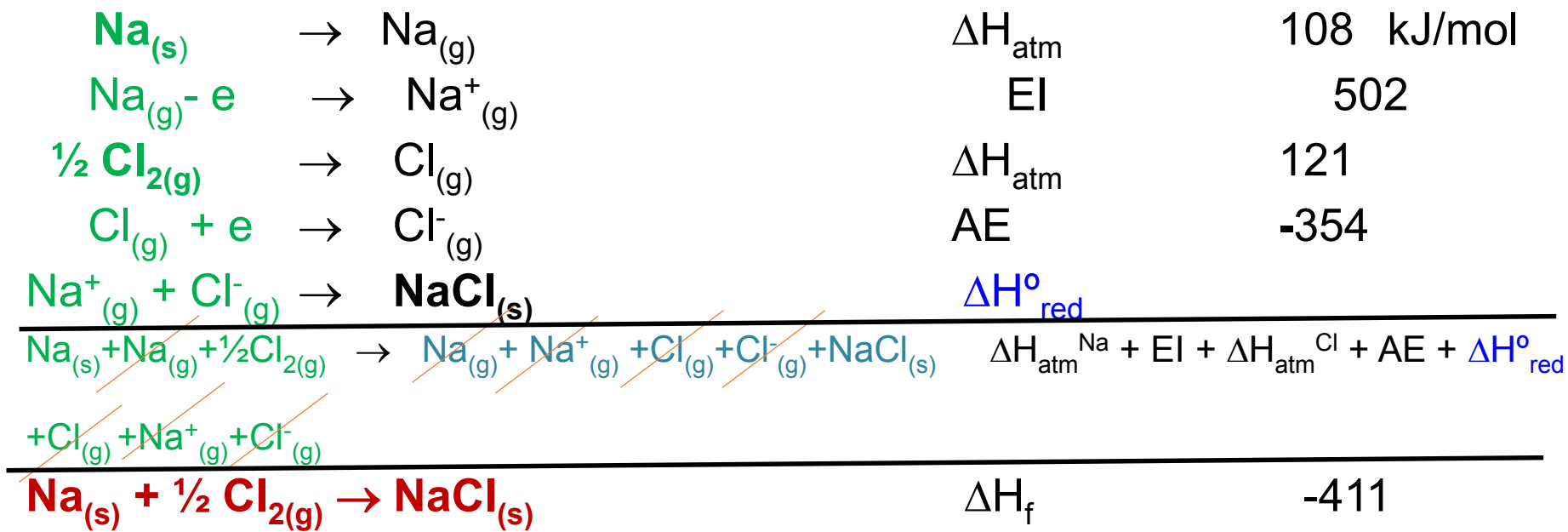
El empaquetamiento debe 1) maximizar las atracciones entre las cargas opuestas, y 2) minimizar las repulsiones manteniendo a los iones de la misma carga lo más alejado posible.

# Cristal iónico

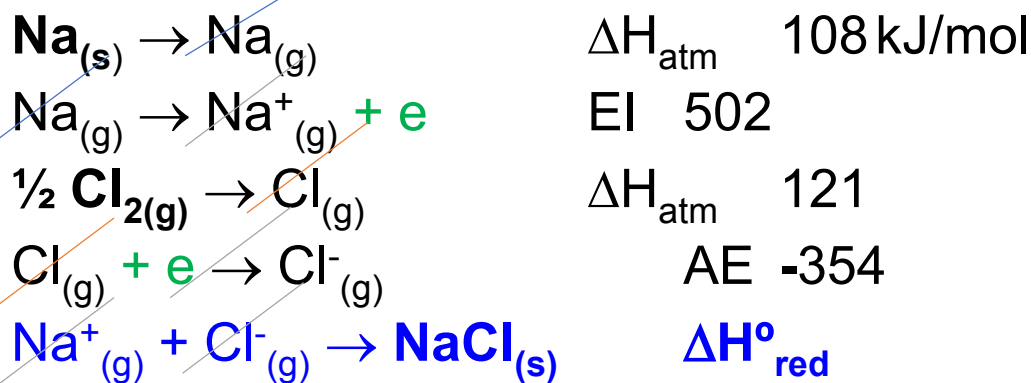


T = 0 K

$$U_0 \text{ experimental} = \Delta H^\circ_{\text{red}}$$



$$U_0 \text{ experimental} = \Delta H^\circ_{\text{red}}$$



$$\Delta H^\circ_{\text{red}} = \Delta H_f - (\Delta H_{\text{atm}}^{\text{Na}} + \text{EI} + \Delta H_{\text{atm}}^{\text{Cl}} + \text{AE})$$

$$\Delta H^\circ_{\text{red}} = -411 - (108 + 502 + 121 - 354) = \underline{-788} \text{ kJ/mol}$$

$$U_0 = U_{\text{calc}}$$

---

$$U_0 = U_c + U_B + U_L + U_Z + \text{corrección x T} + \dots$$

$U_c$

$U_c$

$$F = -\frac{e^2}{4\pi\epsilon_0} \frac{z_+ z_-}{r^2}$$

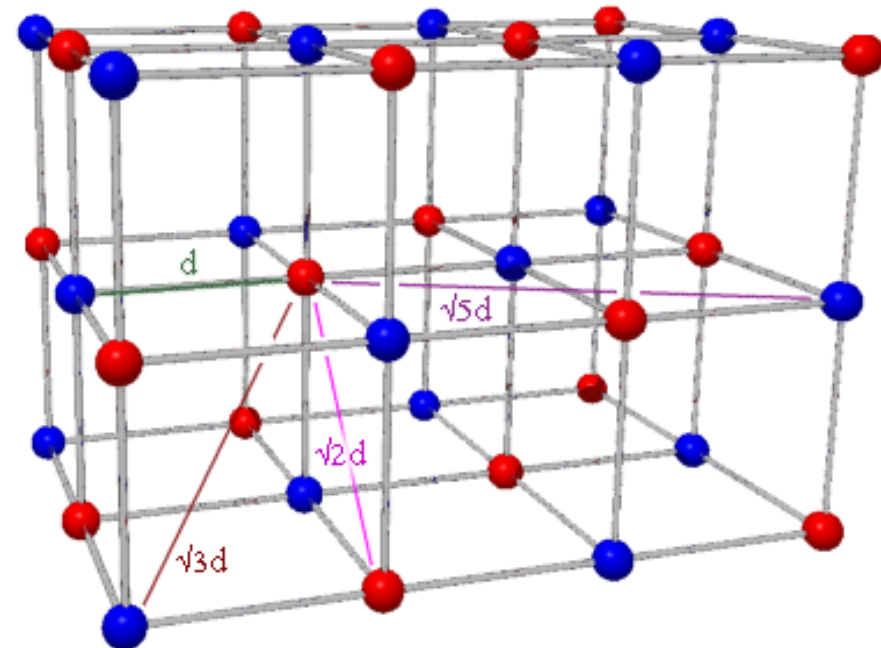
$$U_c = -\frac{6 N_A z^+ z^- e^2}{4\pi\epsilon_0 r} + \frac{12 N_A z^+ z^+ e^2}{\sqrt{2} r 4\pi\epsilon_0} - \dots + \dots -$$

$$U_c = -\frac{N_A z^+ z^- e^2}{4\pi\epsilon_0 r} [6 - \frac{12}{\sqrt{2}} + \frac{8}{\sqrt{3}} - \frac{6}{2} + \frac{24}{\sqrt{5}}]$$

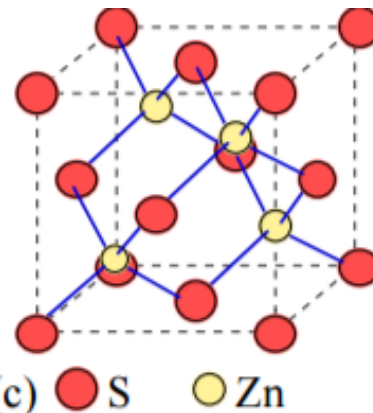
$$U_c = -\frac{N_A z^+ z^- e^2 A}{4\pi\epsilon_0 r}$$

$\text{NaCl}_{(s)}$

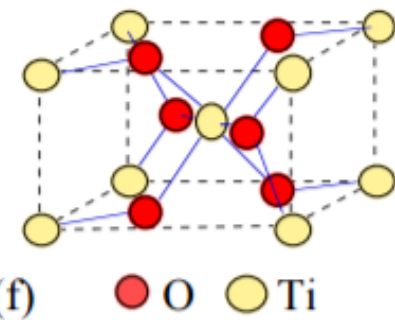
$r = d$



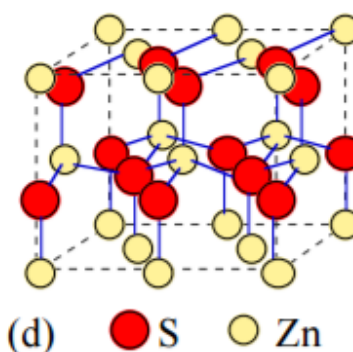
Estructura	A o $\text{Å}$
CsCl	1.762674773070991
NaCl	1.747564594633182
blenda	1.638055053388791
wurzita	1.641321627378
$\text{CaF}_2$	2.519392439924286
$\text{Cu}_2\text{O}$	2.221237604919478
$\text{Li}_2\text{O}$	2.519392439924286
$\text{NH}_4\text{F}$	1.64132162737196



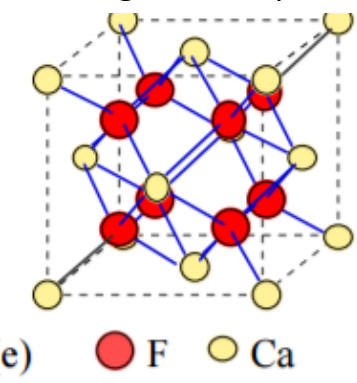
Blenda, cúbico compacto



Rútilo, hexagonal compacto



Wurzita, Hexagonal compacto



Fluorita, cúbico compacto

Estructura cristalina	Ejemplo
Antifluorita	$K_2O$ , $K_2S$ , $Li_2O$ , $Na_2O$ , $Na_2Se$ , $Na_2S$
Cloruro de cesio	$CsCl$ , $CaS$ , $TlSb$ , $CsCN$ , $CuZn$
Fluorita	$CaF_2$ , $UO_2$ , $BaCl_2$ , $HgF_2$ , $PbO_2$
Arseniuro de níquel	$NiAs$ , $NiS$ , $FeS$ , $PtSn$ , $CoS$
Perovskita	$CaTiO_3$ , $BaTiO_3$ , $SrTiO_3$
Sal de roca	$NaCl$ , $LiCl$ , $KBr$ , $RbI$ , $AgCl$ , $AgBr$ , $MgO$ , $CaO$ , $TiO$ , $FeO$ , $NiO$ , $SnAs$ , $UC$ , $ScN$
Rutilo	$TiO_2$ , $MnO_2$ , $SnO_2$ , $WO_2$ , $MgF_2$ , $NiF_2$
Blenda	$ZnS$ , $CuCl$ , $CdS$ , $HgS$ , $GaP$ , $InAs$
Wurtzita	$ZnS$ , $ZnO$ , $BeO$ , $MnS$ , $AgI$ , $AlN$ , $SiC$ , $NH_4F$

<i>Tipo de estructura</i>	<i>Número de Coordinación*</i>	$N_+/N_-^{**}$
<b>Blenda de cinc (<math>ZnS</math>)</b>	(4,4)	1:1
<b>Wurtzita (<math>ZnS</math>)</b>	(4,4)	1:1
<b>Cloruro de sodio (<math>NaCl</math>)</b>	(6,6)	1:1
<b>Cloruro de cesio (<math>CsCl</math>)</b>	(8,8)	1:1
<b>Rutilo (<math>TiO_2</math>)</b>	(6,3)	1:2
<b>Fluorita (<math>CaF_2</math>)</b>	(8,4)	1:2
<b>Antifluorita (ejemplo: <math>K_2O</math>)</b>	(4,8)	2:1

\* (Número de coordinación del catión, número de coordinación del anión).



$$U_c = - \frac{N_A z^+ z^- e^2 A}{4\pi\epsilon_0 r}$$

$$U_c = -863.19 \text{ kJ/mol}$$

A constante de Madelung = 1.748

$r^+ + r^-$  (distancia interiónica) =  $2.814 \times 10^{-10} \text{ m}$

$N_A = 6.023 \times 10^{23}$

$e$  carga del e =  $1.60218 \times 10^{-19} \text{ C}$

$\epsilon_0 = 8.854188 \times 10^{-12} \text{ C}^2/\text{Jm}$

$$U_o = - \frac{6.023 \times 10^{23} \text{ mol}^{-1} (1) (1) (1.60218 \times 10^{-19} \text{ C})^2 (1.748)}{4\pi (8.854188 \times 10^{-12} \text{ C}^2/\text{Jm}) (2.814 \times 10^{-10} \text{ m})}$$

$$\frac{\text{C}^2/\text{mol}}{(\text{C}^2/\text{Jm}) \text{ m}} \rightarrow \text{J/mol} \quad (1 \text{ kJ}/1000 \text{ J}) = \text{kJ/mol}$$

$U_B$

---

$U_B \propto 1/r^n$  para un par iónico

$$U_B = N_A B / r^n$$

$n$  coef. de Born,

$n$  = depende de la densidad de la nube electrónica experimental, de la compresibilidad del cristal, resistencia de un ión a acercarse lo máximo a otro.

$B$  cte. de proporcionalidad que se discierne en el equilibrio cuando la fza atractiva y repulsiva se igualan,  $r = r_0$        $U_{Calc} = U_0 + U_B$

$$\frac{dU_{Calc}}{dr} = 0 = \frac{d}{dr}(U_c + U_B)$$

$$U_{\text{Calc}} = U_0 + U_B$$

---

$$\frac{dU_0}{dr} \Big|_{(r=r_0)} = -\frac{N_A z^+ z^- e^2 A}{4\pi\epsilon_0 r} + \frac{N_A B}{r^n}$$

$$\frac{d}{dX} X^m = m X^{m-1}$$

$$\frac{dU_0}{dr} \Big|_{(r=r_0)} = 0$$

$$\frac{dU_0}{dr} \Big|_{(r=r_0)} = \frac{N_A z^+ z^- e^2 A}{4\pi\epsilon_0 r_0^2} - \frac{n N_A B}{r_0^{n+1}}$$

De donde se despeja B

$$B = \frac{z^+ z^- e^2 A (r_0^{n-1})}{4\pi\epsilon_0 n}$$

## Sustituyendo B

---

$$U_B = \frac{N_A B}{r^n}$$

$$r=r_0$$

$$B = \frac{z^+ z^- e^2 A}{4\pi\epsilon_0 n} (r_0^{n-1})$$

## Sustituyendo B

$$U_B = \frac{N_A z^+ z^- e^2 A}{4\pi\epsilon_0 n r}$$

Para NaCl

A = constante de Madelung (1.748)

n = exponente de Born (8)

$r_0 = r^+ + r^-$  (distancia interiónica) =  $2.814 \times 10^{-10}$  m

$z^+$  y  $z^-$  = cargas catión y anión

$N_A = 6.023 \times 10^{23}$

$e$  carga del e =  $1.60218 \times 10^{-19}$  C

$\epsilon_0 = 8.854188 \times 10^{-12}$  C<sup>2</sup>/Jm

$$U_B = 107.89 \text{ kJ/mol}$$

Configuración electrónica del ion	Ejemplo	<i>n</i>
[He]	Li <sup>+</sup> , Be <sup>2+</sup>	5
[Ne]	Na <sup>+</sup> , Mg <sup>2+</sup> , F <sup>-</sup> , O <sup>2-</sup>	7
[Ar]	K <sup>+</sup> , Ca <sup>2+</sup> , Cl <sup>-</sup> , S <sup>2-</sup>	9
[Kr]	Rb <sup>+</sup> , Sr <sup>2+</sup> , Br <sup>-</sup>	10
[Xe]	Cs <sup>+</sup> , Ba <sup>2+</sup> , I <sup>-</sup>	12

Ión tipo	Ej	<i>n</i>	
He-He	LiH	5	
Ne-Ne	NaF, MgO	7	
*	NaCl	8	$n = \frac{1}{2} (n_c + n_a)$
Ar-Ar	KCl, CaS, CuCl	9	
Kr-Kr	RbBr, AgBr	10	
Xe-Xe	CsI	12	

\* promedio

## Ec. de Born- Landé

$$U_o = U_c + U_B$$

$$U_o = -\frac{N_A z^+ z^- e^2 A}{4\pi\epsilon_0 r_0} + \frac{N_A B}{r_0^n}$$

$$U_o = -\frac{N_A z^+ z^- e^2 A}{4\pi\epsilon_0 r_0} + \frac{N_A z^+ z^- e^2 A}{4\pi\epsilon_0 n r_0}$$

factorizando:

$$U_o = -\frac{N_A z^+ z^- e^2 A}{4\pi\epsilon_0 r_0} \left(1 - \frac{1}{n}\right)$$

A = constante de Madelung

n = exponente de Born

$r_0 = r^+ + r^-$  = (distancia interiónica)

$z^+$  y  $z^-$  = cargas catión y anión

$N_A = 6.023 \times 10^{23}$

$e$  carga del e =  $1.60218 \times 10^{-19}$  C

$\epsilon_0 = 8.854188 \times 10^{-12}$  C<sup>2</sup>/Jm

$$U_B = \frac{N_A B}{r_0} e^{(-r/\rho)}$$

Born-Mayer

$$U = -\frac{N_A z^2 e^2}{4\pi\epsilon_0 r_0} \left(1 - \frac{\rho}{r_0}\right)$$

## $U_0$ para el NaCl según Born-landé

$A$  constante de Madelung = 1.748

$n$  exponente de Born = 8

$r^+ + r^-$  (distancia interiónica) =  $2.814 \times 10^{-10}$  m

$z^+$  y  $z^-$  = 1

$N_A = 6.023 \times 10^{23}$

$e$  carga del e =  $1.60218 \times 10^{-19}$  C

$\epsilon_0 = 8.854188 \times 10^{-12}$  C<sup>2</sup>/Jm

$$U_0 = -\frac{6.023 \times 10^{23} \text{ mol}^{-1} (1)(1)(1.60218 \times 10^{-19} \text{ C})^2 (1.748)}{4\pi (8.854188 \times 10^{-12} \text{ C}^2/\text{Jm})(2.814 \times 10^{-10} \text{ m})} (1 - \frac{1}{8})$$

$$U_0 = -\frac{2.70257 \times 10^{-14}}{3.1309 \times 10^{-20}} \left(\frac{7}{8}\right) \frac{\text{C}^2/\text{mol}}{(\text{C}^2/\text{Jm}) \text{ m}} \rightarrow \text{J/mol}$$

$$U_0 = -863192.692 (7/8)$$

$$U_0 = -755293.60 \text{ J/mol} \times \frac{1 \text{ kJ}}{1000 \text{ J}} = -755.29 \text{ kJ/mol}$$

$$U_c = -863.19 \text{ kJ/mol} \quad U_B = \underline{863.19} = 107.89 \text{ kJ/mol}$$

## $U_0$ para el NaCl

$U_c =$

**-863.19**

$\Delta H^\circ_{\text{red}}$

**-788 kJ/mol**

**100%**

**1% 95**

## Ec Born-Lande

$(U_c + U_B) \quad -755.3 \text{ kJ/mol}$

**95.85%**

**Tabla 4.10. Comparación de las entalpias de red experimentales y teóricas de haluros, en kJ/mol**

Compuesto	LiF	NaF	KF	LiI	NaI	KI	MgBr <sub>2</sub>	MgI <sub>2</sub>	MnBr <sub>2</sub>	MnI <sub>2</sub>
Entalpía de red experimental	1046	929	826	759	700	645	2395	2315	2441	2382
Entalpía de red teórica	1032	901	790	709	672	622	2140	1985	2177	2010
Diferencia, en porcentaje	1,3%	3,0%	4,3%	6,6%	4,0%	3,6%	11%	14%	15%	16%

# AgCl



$$\Delta H_{red}^\circ = \Delta H_f - (\Delta H_{atm}^{Ag} + EI + \Delta H_{atm}^{Cl} + AE) = -910.8 \text{ kJ/mol}$$

el AgCl es un cristal con estructura de NaCl

$$U_o = U_c + U_B$$

$$U_o = - \frac{N_A z^+ z e^2 A}{4\pi\epsilon_0 r_0} (1 - 1/n)$$

$$U_o = - 6.023 \times 10^{23} \text{ mol}^{-1} (1) (1) (1.60218 \times 10^{-19} \text{ C})^2 (1.748) (1 - 1/9)$$

$$4\pi (8.854188 \times 10^{-12} \text{ C}^2/\text{Jm}) (2.96 \times 10^{-10} \text{ m})$$

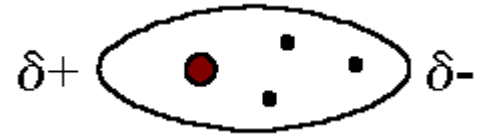
$$U_o = - \frac{2.70257 \times 10^{-14}}{3.2933 \times 10^{-20}} (1 - 1/9) \text{ [J/mol]} \quad \div 1000 \text{ [kJ/mol]}$$

$$U_c = - 820.623 \text{ kJ/mol} \quad U_B = 102.578 \text{ kJ/mol}$$

$$U_o = -718.04 \text{ [kJ/mol]}$$

Ec Born-Lande

# $U_L$ Energía de London



- Las expresiones de Born-Landé y Born- Mayer no toman en cuenta las fuerzas atractivas de London.

$$U = - \frac{N_A z^+ z^- e^2 A}{4\pi\epsilon_0 r_0} (1 - 1/n)$$

$$- N_A \frac{C}{r^6} - N_A \frac{D}{r^8}$$

Energía de  
London ( $U_L$ )

Donde :  $\frac{C}{r^6}$  Componente de las fuerzas de dispersión  
dipolo-dipolo inducido

$\frac{D}{r^8}$  Componente de las fuerzas de dispersión  
dipolo- cuadrupolo inducido

# Cálculo del valor de la constante C

J. E. Mayer (1933)

Para un par de iones  $M^+X^-$

$$C_{cristal} = kC_{+-} + k \frac{1}{2}(C_{++} + C_{--})$$

$$C_{+-} = \frac{3}{2} \frac{E_1 E_2}{(E_1 + E_2)} \alpha_1 \alpha_2 \quad C_{++} = \frac{3}{4} E_+ \alpha_+^2 \quad C_{--} = \frac{3}{4} E_- \alpha_-^2$$

$$C_{+-} = \frac{3}{2} \frac{E_1 E_2}{(E_1 + E_2)} \alpha_1 \alpha_2 \quad C_{++} = \frac{3}{4} E_+ \alpha_+^2 \quad C_{--} = \frac{3}{4} E_- \alpha_-^2$$

Donde:

$\alpha_1$  y  $\alpha_2$  es la polarizabilidad de cada ión,

$E_1$  y  $E_2$  son las energías características de los dos iones

La energía característica teóricamente está dada por  $h\nu$ , donde  $\nu$  es la frecuencia de absorción máxima en el ultravioleta del ión en el cristal.

Sin embargo, en la práctica se utilizan solo aproximaciones de éstas energías.

## Para el AgCl

Datos:

### Polarizabilidad

$$\alpha_{\text{Ag}^+} = 1.72 \times 10^{-30} \text{ m}^3 \text{ (Calculados por Pauling)}$$

$$\alpha_{\text{Cl}^-} = 3.45 \times 10^{-30} \text{ m}^3$$

### Energía característica

$$E^+ = 3.10 \times 10^{-18} \text{ J / par} \text{ (El 90 \% del 2º potencial de ionización} = 21.48 \text{ eV})$$

$$E^- = 1.56+ \times 10^{-18} \text{ J / par} \text{ (Calculado del espectro de absorción UV)}$$

$$r_0 = 2.772 \times 10^{-10} \text{ m}$$

$$C_{+-} = 9.2 \times 10^{-78} \text{ J m}^6 / \text{molécula}$$

$$C_{++} = 6.9 \times 10^{-78} \text{ J m}^6 / \text{molécula}$$

$$C_- = 13.9 \times 10^{-78} \text{ J m}^6 / \text{molécula}$$

$$C_{\text{cristal}} = 79.5 \times 10^{-78} \text{ J m}^6 / \text{par}$$

Entonces:

$$-\frac{C}{r_0^6} \frac{N_A}{2} = -0.175 \times 10^{-18} \frac{N_A}{2} \text{ J/mol} = -0.0875 \text{ eV } N_A = -105.5 \text{ kJ/mol}$$

## dipolo-cuadrupolo D

De manera general, la contribución de la interacción dipolo-cuadrupolo corresponde al **10-20 %** del valor de la interacción dipolo-dipolo.

$$\text{Interacción dipolo-cuadrupolo} - \frac{D N_A}{r^8} =$$

Entonces, la energía total de dispersión de London para el AgCl es :

$$U_L = -106 \text{ kJ / mol} - 19 \text{ kJ / mol} = -125 \text{ kJ/mol}$$

$$U_L = -N_A \frac{C}{r^6} - N_A \frac{D}{r^8}$$

el AgCl es un cristal con estructura de NaCl

$$U_o = U_c + U_B + U_L$$

$$U_o = -\frac{N_A z^+ z e^2 A}{4\pi \epsilon_0 r_0} (1 - 1/n) - |N_A \frac{C}{r^6} - N_A \frac{D}{r^8}|$$

$$U_o = -6.023 \times 10^{23} \text{ mol}^{-1} (1) (1) (1.60218 \times 10^{-19} \text{ C})^2 (1.748) (1 - 1/8) -125 \text{ [kJ/mol]}$$

$$4\pi (8.854188 \times 10^{-12} \text{ C}^2/\text{Jm}) (2.96 \times 10^{-10} \text{ m})$$

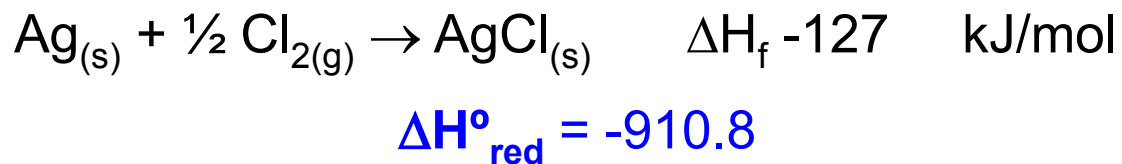
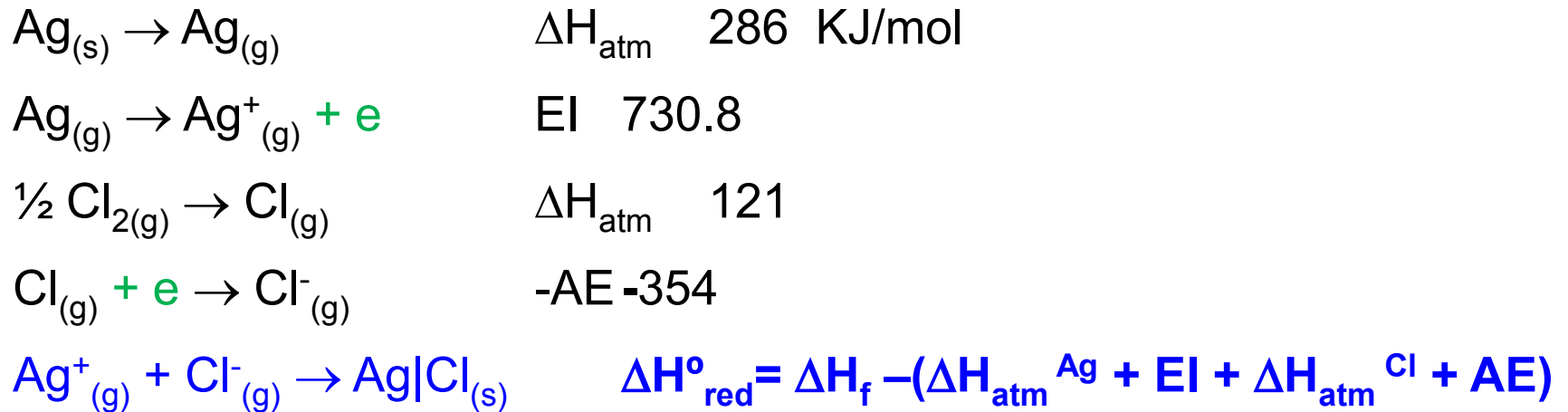
$$U_o = -2.70257 \times 10^{-14} (1 - 1/8) \text{ [J/mol]} -125 \text{ [kJ/mol]}$$

$$3.2933 \times 10^{-20}$$

$$U_C = -820.626 \text{ kJ/mol} \quad U_B = 102.578 \text{ kJ/mol}$$

$$U_o = -718.04 \text{ [kJ/mol]} - 125 \text{ [kJ/mol]} = -843.04 \text{ kJ/mol}$$

Ec Born-Lande



# Factores que provocan el aumento en la energía de London

- Un alto número de coordinación.
- Una distancia internuclear pequeña.
- Iones con altos valores de polarizabilidad.

# Polarizabilidad

$\times 10^{-30} \text{ m}^3$

$\alpha^+$						$\alpha^-$		
Li <sup>+</sup>	Be <sup>2+</sup>	Cu <sup>+</sup>	Zn <sup>2+</sup>	Al <sup>3+</sup>		H <sup>-</sup>	F <sup>-</sup>	O <sup>2-</sup>
0.029	0.008	0.43	0.29	0.054		10.2	1.05	3.92
Na <sup>+</sup>	Mg <sup>2+</sup>	Ag <sup>+</sup>	Cd <sup>2+</sup>	Ga <sup>3+</sup>			Cl <sup>-</sup>	S <sup>2-</sup>
0.18	0.094	1.72	1.09	0.2			3.69	10.3
K <sup>+</sup>	Ca <sup>2+</sup>	Au <sup>+</sup>	Hg <sup>2+</sup>	In <sup>3+</sup>			Br <sup>-</sup>	Se <sup>2-</sup>
0.84	0.47	1.88	1.25	0.73			4.81	10.6
Rb <sup>+</sup>	Sr <sup>2+</sup>			Tl <sup>3+</sup>			I <sup>-</sup>	Te <sup>2-</sup>
1.42	0.86			0.87			7.16	14.1
Cs <sup>+</sup>	Ba <sup>2+</sup>							
2.44	1.56							

## Energía de punto cero ( $U_z$ )

La  $U$  a  $T = 0K$

donde persisten las vibraciones de la red  
(frecuencia de Debye)

$$U_z = N_A \frac{1}{2} h\nu_{\max}$$

### Componentes de la energía de red (kJ/mol)

Compuesto	$U_0$ (calc)	$U_C$	$U_B$	$U_L$	$U_Z$	$\Delta_h^{298}$ (ciclo Born)
NaCl	-772	-863	108	-25	8	-788
CsI	-580	-619	90	-54	3	-602
AgI	-795	-808	138	-128	3	-891
CuBr	-870	-925	114	-64	4	-977
AgCl	-840	-820	102.6	-125	3	-910.8

NaCl -772 es del 97.9%

CsI -580 es del 96.4 %

AgI -795 es del 89.2%

CuBr -870 es del 89 %

AgCl -840 es del 92.2%

# Simplificando la Ec de Born-Lande

$$U_0 = -\frac{N_A A z^+ z^- e^2}{4\pi\epsilon_0 (r_0)} (1-1/n)$$

$$U_0 = -1.39 \times 10^{-4} \frac{A z^+ z^-}{(r^+ + r^-)} (1-1/n) \quad (\text{J m/mol}) \quad r^+ + r^- \text{ (distancia interiónica, m)}$$

$$1 \text{ pm} = 1 \times 10^{-12} \text{ m} = 10^{-2} \text{ \AA}$$

$$U_0 = -1.39 \times 10^5 \frac{A z^+ z^-}{(r^+ + r^-)} (1-1/n) \quad (\text{kJ pm/mol}) \quad r^+ + r^- \text{ (distancia interiónica, pm)}$$

## Ecuación de Kapustinsky

- Usada en casos donde los datos experimentales son escasos para el calculo de la energía de red.

Principalmente cuando no se conoce el tipo de estructura del cristal.

Común para iones complejos

# Ecuación de Kapustinsky

Born-Landé

$$U = -\frac{N_A A Z^2 e^2}{4\pi\epsilon_0 r_0} \left(1 - \frac{1}{n}\right) \longrightarrow U = -\frac{N_A A e^2}{4\pi\epsilon_0} \boxed{\frac{v}{2}} \frac{Z_c Z_a}{r_c + r_a} \left(1 - \frac{1}{n}\right)$$

Born-Mayer

$$U = -\frac{N_A A z^2 e^2}{4\pi\epsilon_0 r_0} \left(1 - \frac{\rho}{r_0}\right) \longrightarrow U = -\frac{N_A A e^2}{4\pi\epsilon_0} \boxed{\frac{v}{2}} \frac{Z_c Z_a}{r_c + r_a} \left(1 - \frac{\rho}{r_c + r_a}\right)$$

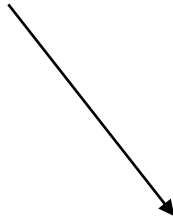
Donde:  $v$  es el número de iones en la formula simple,

$Z_c$  y  $Z_a$  son las cargas del catión y el anión,

$r_c$  y  $r_a$  son los radios iónicos **Pauling o de Goldschmidt**

## Generalización de los datos del NaCl a otras estructuras:

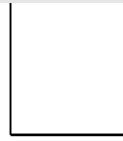
$$U = \frac{N_A A e^2}{4\pi\epsilon_0} \left[ \frac{v}{2} \right] \frac{Z_c Z_a}{r_c + r_a} \left( 1 - \frac{1}{n} \right)$$



- $A \approx A_{\text{NaCl}} = 1.74756$
- $r_0 \approx r_c + r_a \text{ nm}$
- $n \approx 8$

$$v/2 = 2/2 = 1$$

- $\frac{N_A e^2}{4\pi\epsilon_0}$

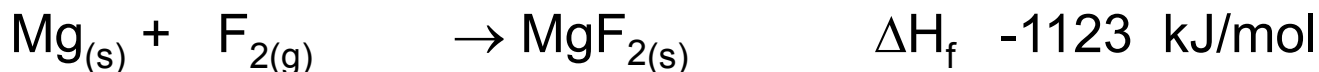
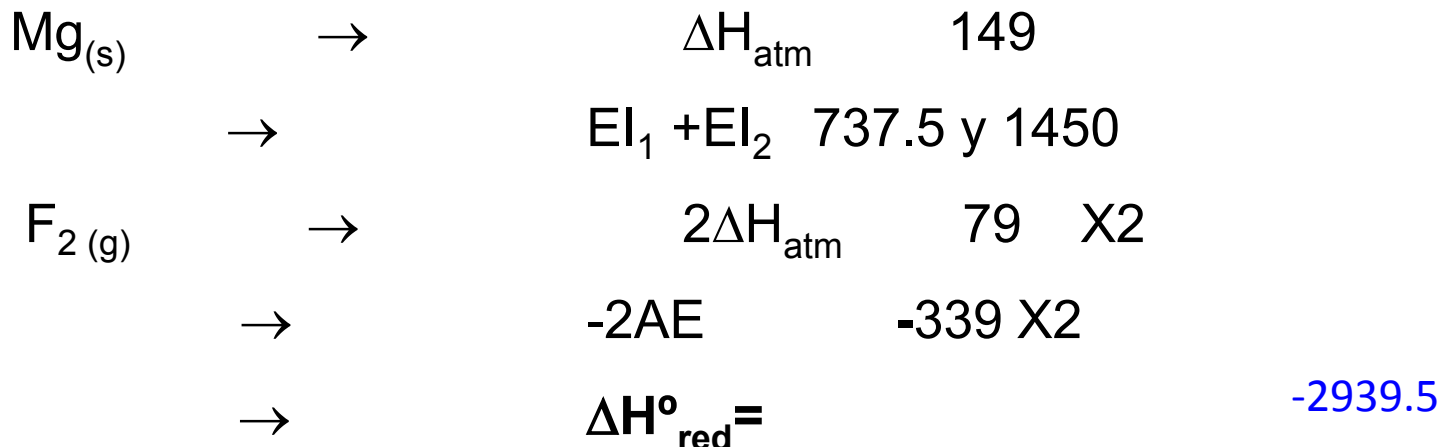


$$U = -108v \frac{Z_c Z_a}{r_c + r_a}$$

# Ejemplo : MgF<sub>2</sub>

Del ciclo de Born-Haber

kJ/mol



# Ejemplo : MgF<sub>2</sub>

## Ecuación de Born-Landé

$$U = \frac{N_A A z^2 e^2}{4\pi\epsilon_0 r_0} \left( 1 - \frac{1}{n} \right)$$

$$U_0 = -1.39 \times 10^{-4} A z^+ z^- (1 - 1/n) \text{ J/mol}$$
$$(r^+ + r^-) (\text{m})$$

\*MgF<sub>2</sub> tiene estructura de rutilo (hex comp, tetragonal), la constante de Madelung A= 2.408

\*Distancia internuclear o  $r_0 = r^+ + r^-$

$$\text{Mg}^{2+}, (6, 86 \text{ pm}) \text{ F}^- (3,116 \text{ pm}) = 202 \text{ pm}$$

$$0.202 \text{ nm} \text{ y } 2.02 \times 10^{-10} \text{ m}$$

$$z = 1, 2$$

$$U = -2899.6 \text{ kJ/mol}$$

$$n=8$$

$$U_c = -3313.9 \text{ kJ/mol} \text{ y } U_B = 414.2$$

98.6%

$$\Delta H_{\text{red}}^{\circ} = -2939.5$$

100%

104.5%

## Ecuación de Kapustinsky

$$U = 108v \frac{Z_c Z_a}{r_c + r_a}$$

$$Z_c = +2, Z_a = -1$$

$$v = 3$$

$$r_{\text{Mg}^{2+}} = 0.078 \text{ nm}, r_{\text{F}^-} = 0.133 \text{ nm}$$

$$0.211 \text{ nm}$$

$$U = -3071.09 \text{ kJ/mol}$$

# Radio termodinámico

¿Cómo saber cual es el radio de un ión poliatómico?

O ¿cuanta energía requiere la formación de un ión poliatómico?

Sean dos compuestos A=  $\text{Na}_2\text{SO}_4$  y B =  $\text{K}_2\text{SO}_4$  para los cuales se conocen sus  $\Delta H_f^\circ$  y los radios iónicos de los cationes son conocidos:

$$U_A - U_B = [\Delta H_f^\circ(\text{NaSO}_4) - \Delta H_f^\circ(\text{K}_2\text{SO}_4)] - [2 \Delta H_f^\circ \text{Na}^+_{(g)} - 2 \Delta H_f^\circ \text{K}^+_{(g)}]$$

Al evaluar la diferencia en la energía de red es posible sustituir en la ecuación de Kapustinsky y tener como única incógnita el radio del anión. Los radios obtenidos mediante este tratamiento se conocen como **radios termodinámicos**.

kJ/mol

$$\left\{ 2\Delta H^\circ(\text{Na}^+) \ 1220 \right\}$$

¿Proceso real?

$$\Delta E_{1+2 (\text{SO}_4^{-2})} = ? \left\{ \Delta H^\circ(\text{SO}_4^{-2}) ??? \right\}$$

$$\Delta H^\circ_{\text{red}}$$



$$\underline{\Delta H_{\text{red Na}_2\text{SO}_4}} = \Delta H_f - 2\Delta H^\circ(\text{Na}^+) - \Delta H^\circ(\text{SO}_4^{-2}) = -1385.8 - \Delta H^\circ(\text{SO}_4^{-2})$$

kJ/mol

$$\left\{ 2\Delta H^\circ(K^+) \text{ 1028} \right\}$$

¿Proceso real?

$$\Delta E_{1+2(SO_4^{2-})} = ? \left\{ \Delta H^\circ(SO_4^{2-}) ??? \right\}$$

$\Delta H^\circ_{red}$



$$\underline{\Delta H_{red \ K_2SO_4}} = \Delta H_f - 2\Delta H^\circ(K^+) - \Delta H^\circ(SO_4^{2-}) = -1199.8 - \Delta H^\circ(SO_4^{2-})$$

$$\underline{\Delta H}_{\text{red Na}_2\text{SO}_4} = \Delta H_f - 2\Delta H^\circ (\text{Na}^+) - \Delta H^\circ (\text{SO}_4^{-2}) = -1385.8 - \Delta H^\circ (\text{SO}_4^{-2})$$

$$\underline{\Delta H}_{\text{redK}_2\text{SO}_4} = \Delta H_f - 2\Delta H^\circ (\text{K}^+) - \Delta H^\circ (\text{SO}_4^{-2}) = -1199.8 - \Delta H^\circ (\text{SO}_4^{-2})$$

$$\underline{\Delta H}_{\text{K}_2\text{SO}_4} - \underline{\Delta H}_{\text{Na}_2\text{SO}_4} =$$

$$r_{(\text{Na}^+)} = 116 \text{ pm} = 0.116 \text{ nm} \quad r_{(\text{K}^+)} = 152 \text{ pm} = 0.152 \text{ nm}$$

## Regla de los radios

Aproximación para predecir el # de coordinación de los iones.

La razón de  $R = r^+ / r$  da una guía de cuantos cationes pueden acomodarse alrededor de un anión.

# coordinación    4    td        debajo de 0.414

      6    oct        entre 0.414 y 0.732

      8    cúbico        entre 0.732 y 1

      12    dodecaedro    1

Se asumen esferas duras por lo que pueden  $\exists$  desviaciones importantes,

Ej. ZnS 0.52 pero es #4

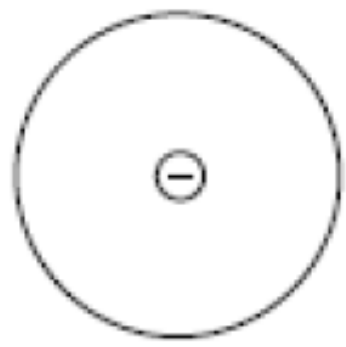
## Reglas de FAJAN'S – grado de ionicidad y poder polarizante

Grado de ionicidad depende del poder polarizante (PP) del catión y de la polarizabilidad (P) de anión

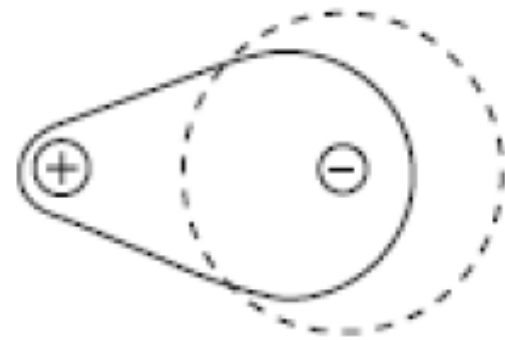
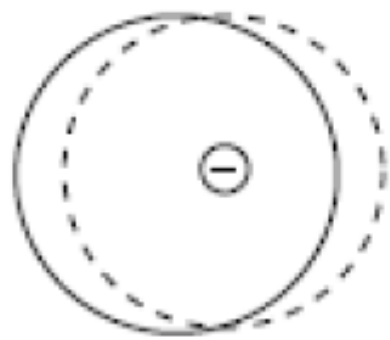
Para un catión  $A^{n+}$  PP será  $\propto ne / (4/3 \pi r_A^{-3})$

Para un anión  $B^{m-}$  P será  $\propto me \cdot (4/3 \pi r_B^{-3})$

$\oplus$



$\oplus$



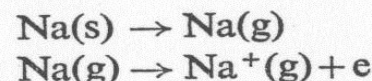
# Reglas de Fajans

- Cuanto más polarizante es el catión, mayor será el carácter covalente del enlace. El carácter covalente se incrementa al decrecer el tamaño del Cation y/o incrementarse la carga del mismo
- Cuanto más polarizable es el anión, mayor el carácter covalente, que se incrementa al incrementarse el tamaño y/o la carga del anión
- La polarización del enlace (y por lo tanto el carácter covalente) aumenta cuando el catión no tiene configuración de gas noble. Esto se da en los metales de transición (grupos 3 - 12) y en el bloque f debido a que los cationes son más polarizantes que los que tienen conf. de gas noble.
  - Ej. El  $Hg^{2+}$  es más polarizante que el  $Ca^{2+}$  siendo que tienen prácticamente el mismo radio (102 y 100 pm respectivamente)

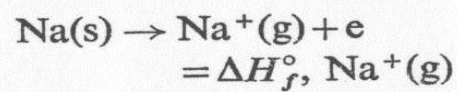
# EjemploNaX

	F	Cl	Br	I	kJ/mol
$\Delta H_{\text{atm}}^\circ \text{ Na}$					
EI					
$\Delta H_{\text{atm}}^\circ \text{ X}$					
$-\Delta E$					
$\Delta H^\circ_{\text{red}}$					
	-569	-410	-360	-288	$\Delta H^\circ_f$

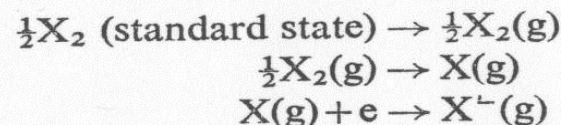
Terms,  $\Delta H_{298}^\circ$ /(kJ mol<sup>-1</sup>), contributing to the enthalpies of formation of the sodium halides NaX.



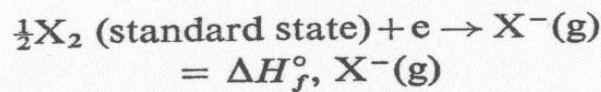
	F	Cl	Br	I
	108	108	108	108
	502	502	502	502



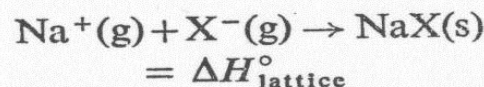
	610	610	610	610
--	-----	-----	-----	-----



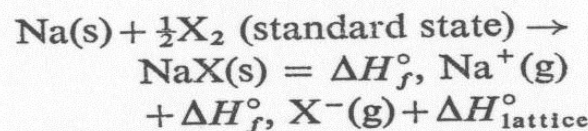
	0	0	15	31
	79	121	97	75
	-339	-354	-330	-301



	-260	-233	-218	-195
--	------	------	------	------



	-919	-787	-752	-703
--	------	------	------	------



	-569	-410	-360	-288
--	------	------	------	------

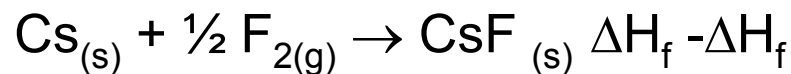
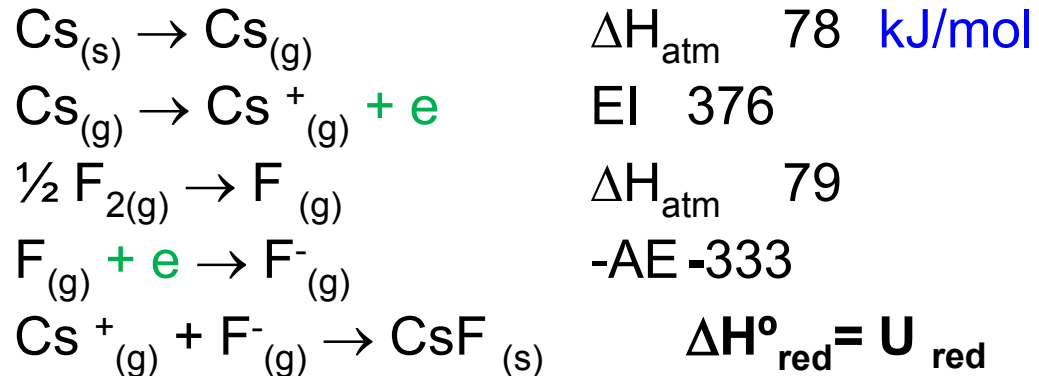
# Ejemplo MI

	Li	Na	K	Rb	Cs	kJ/mol
	161	108	90	82	78	$\Delta H_{\text{atm}}^\circ M$
	526	502	424	408	381	EI
	106	106	106	106	106	$\Delta H_{\text{atm}}^\circ I$
	-301	-301	-301	-301	-301	-AE
						$\Delta H_{\text{red}}^\circ$
	-271	-288	-328	-329	-337	$\Delta H_f^\circ$

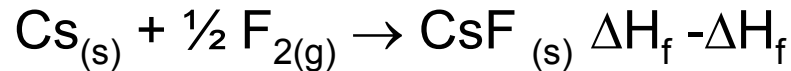
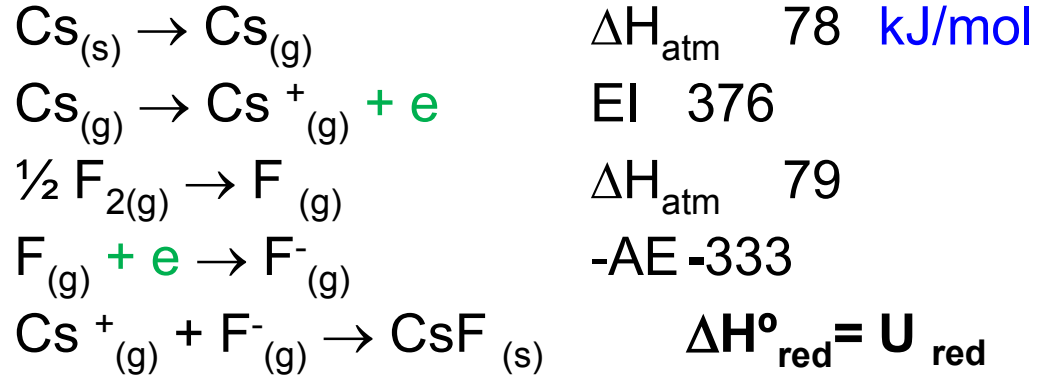


**Table 22** Thermodynamic Data for Alkali Metal Halides at 298 K

	$\Delta G_f^\circ / (\text{kJ mol}^{-1})$	$\Delta H_f^\circ / (\text{kJ mol}^{-1})$	$T \Delta S_f^\circ / (\text{kJ mol}^{-1})$
LiF	-584	-612	-28
LiCl	-384	-409	-25
LiBr	-340	-350	-10.5
LiI	-268	-271	-3.3
NaF	-541	-569	-28
NaCl	-384	-411	-27
NaBr	-348	-360	-12.1
NaI	-282	-288	-5.4
KF	-533	-563	-30
KCl	-408	-436	-28
KBr	-379	-392	-13.0
KI	-322	-328	-5.4
RbF	-520	-549	-30
RbCl	-405	-430	-26
RbBr	-378	-389	-10.9
RbI	-326	-328	-5.4
CsF	-500	-531	-31
CsCl	-404	-433	-29
CsBr	-383	-395	-11.3
CsI	-333	-337	-3.3



$$\Delta H_f = \Delta H_{\text{atm}}^{\text{Na}} + EI + \Delta H_{\text{atm}}^{\text{Cl}} + AE + U_{\text{red}} = -531 \text{ kJ/mol}$$



$$\Delta G_f = \Delta H_f - T \Delta S_f$$

$$\Delta S_f = S^\circ_{\text{productos}} - S^\circ_{\text{reactivos}}$$

$$T = 298 \text{ K}$$

$$\Delta S_f = S^\circ_{298} \text{ CsF}(s) - S^\circ_{298} \text{ Cs}(s) - \frac{1}{2} S^\circ_{298} \text{ F}_2$$

# Entropía de los elementos, a partir de sus estados estándar (por elemento) a 298 K (J/Kmol)

H																	He				
65.3	131																126				
Li	Be	B														C	N	O	F	Ne	
28.2	9.5	5.9														5.7	95.8	102.5	101.4	146.5	
Na	Mg	Al														Si	P	S	Cl	Ar	
51.2	32.7	28.3														191.5	18.9	44	31.9	111.5	154.6
K	Ca	Sc	Ti	V	Cr	Mn	Fe	Co	Ni	Cu	Zn	Ga	Ge	As	Se	Br	76	Kr			
64.2	41.6	38	30.5	29.3	23.8	32.0	27.2	30.0	30.0	33.3	41.6	41	42	35	42.4			163.9			
Rb	Sr	Y	Zr	Nb	Mo	Tc	Ru	Rh	Pd	Ag	Cd	In	Sn	Sb	Te	I	Xe				
76	52	44	39.0	36.5	28.6		29	32	37.8	42.7	51.8	58	51.4	45.7	49.7	58.1	170				
Cs	Ba	La	Hf	Ta	W	Re	Os	Ir	Pt	Au	Hg	Tl	Pb	Bi	Po	At	Rn				
84.3	67	57	45.6	41.5	33.5	37	33	36	41.6	47.4	76.0	64.2	64.8	56			176				
Fr	Ra	Ac	Th	Pa	U																
			53.4		50.3																

Table 26 Entropy Contributions in Solid Compounds at 298 K,  $S/(J\text{ K}^{-1}\text{ mol}^{-1})$

*of metals*

Li	Be													
15	18													
Na	Mg	Al												
31	32	33												
K	Ca	Sc	Ti	V	Cr	Mn	Fe	Co	Ni	Cu	Zn	Ga	Ge	As
38	39	41	41	42	43	43	44	44	44	45	46	47	47	47.9
Rb	Sr	Y	Zr	Nb	Mo	Tc	Ru	Rh	Pd	Ag	Cd	In	Sn	Sb
50	50	50	51	51	51	52	52	52	53	54	54	54	55	55
Cs	Ba	La	Hf	Ta	W	Re	Os	Ir	Pt	Au	Hg	Tl	Pb	Bi
57	57	58	62	62	63	63	63	64	64	64	64	65	65	65

*of negative ions*

	Charge on cation			
	1+	2+	3+	4+
F <sup>-</sup>	23	20	17	21
Cl <sup>-</sup>	42	34	29	34
Br <sup>-</sup>	54	46	38	42
I	61	57	52	54
O <sup>2-</sup>	10	2	2	4
S <sup>2-</sup>	34	21	5	10
Se <sup>2-</sup>	67	48	33	
Te <sup>2-</sup>	69	51	38	
OH <sup>-</sup>	21	19	13	
CN <sup>-</sup>	30	25		
NO <sub>2</sub> <sup>-</sup>	74	63		
NO <sub>3</sub> <sup>-</sup>	91	74	63	59
CO <sub>3</sub> <sup>2-</sup>	64	48	33	
HCO <sub>3</sub> <sup>-</sup>	73	54	42	
C <sub>2</sub> O <sub>4</sub> <sup>2-</sup>	92	74	59	
ClO <sub>3</sub> <sup>-</sup>	104	84		
ClO <sub>4</sub> <sup>-</sup>	109	92		
BrO <sub>3</sub> <sup>-</sup>	111	96	79	
IO <sub>3</sub> <sup>-</sup>	107	92		
MnO <sub>4</sub> <sup>-</sup>	133	117		
SO <sub>3</sub> <sup>2-</sup>	79	62	46	
SO <sub>4</sub> <sup>2-</sup>	92	72	57	50
CrO <sub>4</sub> <sup>2-</sup>	110	88		
PO <sub>4</sub> <sup>3-</sup>	100	71	50	



$$\Delta G_f = \Delta H_f - T \Delta S_f$$

$$\Delta S_f = S^\circ_{\text{productos}} - S^\circ_{\text{reactivos}}$$

$$\Delta S_f = S^\circ_{298} \text{ CsF}(s) - S^\circ_{298} \text{ Cs}(s) - \frac{1}{2} S^\circ_{298} \text{ F}_2$$

$$\Delta S_f = 80 - 84 - 101 \text{ J/Kmol}$$

$$\Delta S_f = -105 \text{ J/Kmol} \times 1 \text{ kJ/1000J} \text{ o bien}$$

$$\Delta G_f = -531 - \frac{298(-105)}{1000} \text{ kJ/mol}$$

$$\Delta G_f = -531 + 31.3 = -499.7 \text{ kJ/mol}$$

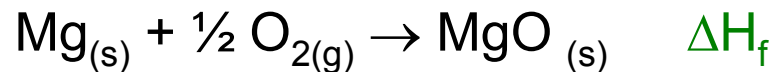
**¿Por que el óxido de magnesio no es  $Mg^+O^-$   
si podrían ahorrarse el gasto de la 2<sup>a</sup> El del Mg y la 2<sup>a</sup> AE del O?**

$Mg_{(s)} \rightarrow Mg_{(g)}$	$\Delta H_{atm}$	149	kJ/mol
$Mg_{(g)} \rightarrow Mg^{+}_{(g)} + e$	$EI_1$	738	
$Mg^{+}_{(g)} \rightarrow Mg^{2+}_{(g)} + e$	$EI_2$	1450	Extra
$\frac{1}{2} O_{2(g)} \rightarrow O_{(g)}$	$\Delta H_{atm}$	249	GASTO
$O_{(g)} + e \rightarrow O^{-}_{(g)}$	$AE_1$	-142	De ENERGÍA
$O^{-}_{(g)} + e \rightarrow O^{2-}_{(g)}$	$AE_2$	+844	
$Mg^{2+}_{(g)} + O^{2-}_{(g)} \rightarrow MgO_{(s)}$	$\Delta H^\circ_{red} =$		
<hr/>			
$Mg_{(s)} + \frac{1}{2} O_{2(g)} \rightarrow MgO_{(s)}$	$\Delta H_f$	-610	

**¿Por que el oxido de magnesio no es  $Mg^{+}O^{-}$   
si podrían ahorrarse el gasto de la 2<sup>a</sup> EI del Mg y la 2<sup>a</sup> AE del O?**

$Mg_{(s)} \rightarrow Mg_{(g)}$	$\Delta H_{atm}$	149	kJ/mol
$Mg_{(g)} \rightarrow Mg^{+}_{(g)} + e$	EI	738	
$\frac{1}{2} O_{2(g)} \rightarrow O_{(g)}$	$\Delta H_{atm}$	249	
$O_{(g)} + e \rightarrow O^{-}_{(g)}$	AE	-142	
$Mg^{+}_{(g)} + O^{-}_{(g)} \rightarrow MgO_{(s)}$	$\Delta H^{\circ}_{red} = U_{red}$		

---



Para estimar los radios  $Mg^{+}$   
Debe estar entre el del  $Li^{+}$  (90pm) y el  $Mg^{+2}$  (86pm)  
y para el  $O^{-}$   
debe estar entre el del  $Cl^{-}$  (167pm) y  $O^{-2}$  (126pm)  
Por lo tanto  $r_c + r_a = 0.257$  a 0.212 nm

$$U = -108v \frac{Z_c Z_a}{r_c + r_a}$$

**¿Por que los halogenuros de Na no son  $\text{Na}^{2+}\text{X}_2^-$ ,  
sí como en los alcalino-terreos una carga más alta  
podrían generar una  $\Delta\text{H}^\circ_{\text{red}}$  más negativa?**

$$\Delta\text{H}_{\text{atm}}$$

$$\text{EI}_1$$

$$\text{EI}_2 = 4567$$

$$\Delta\text{H}_{\text{atm}}$$

$$\Delta\text{E}_1$$

$$\Delta\text{H}^\circ_{\text{red}} =$$



Para estimar radios: catión está entre el  $\text{Ca}^{2+}$ (114pm) y  $\text{Na}^+$  116 pm

$$r_{\text{catión}} = 0.115 \pm 0.001 \text{ nm}$$

Para el anión está entre  $\text{Cl}^-$ (0.167nm)